

血流灌注显像剂 $^{13}\text{N}-\text{NH}_3\text{H}_2\text{O}$ 的实验研究

王明芳¹唐刚华¹葛晓¹袁湖炳¹袁志¹袁祖汉¹袁锦梅¹袁陈育尧²第一军医大学¹南方医院南方PET中心袁中医研究所¹广东广州510515免

摘要 目的 研究¹³N- 氨水渊-N-NH₃H₂O 鸢的临床前药理学探讨¹³N-NH₃H₂O 的 PET 显像方法及其在心脏疾患诊断中的应用
方法 测定¹³N-NH₃H₂O 在小鼠体内的分布袁并利用其进行犬的全身和动态心肌 PET 显像袁测定各器官对¹³N-NH₃H₂O 的摄取及其动态分布遥 结果 小鼠心肌对¹³N-NH₃H₂O 的摄取率最高袁占 25.3%遥犬动态 PET 显像发现袁注射¹³N-NH₃H₂O 后 30 秒袁右心室和左心室血池的放射性达到峰值袁 min 后明显下降曰左心室间壁和侧壁心肌在第 20 秒开始摄取袁间壁摄取高于侧壁袁 min 后侧壁摄取高于间壁袁侧壁与间壁的放射性活度比值为 1.20 值⁵⁵ min 后心 / 血袁 / 肝和心 / 肺比值高于 2.5 遥犬全身 PET 显像发现袁N-NH₃H₂O 主要分布在血供丰富的组织袁心脏是主要的清除器官遥 结论¹³N-NH₃H₂O 是理想的心肌血流灌注显像剂袁可以无创地精确评估局部心肌血流灌注遥

关键词 阵列分布曰电子发射计算机断层显像曰N-NH₂H₂O曰液灌注

中图分类号 I45 文献标识码 A 文章编号 1000-2588(2001)07-0503-05

王明芳¹, 汤刚华¹, 高晓¹, 吴虎兵¹, 李智¹, 黄祖汉¹, 陈玉瑶²
¹Nanfang PET Center, Nanfang Hospital; ²Institute of Traditional Chinese Medicine, First Military Medical University, Guangzhou 510515, China

为了研究¹³N-氨气的预临床药理学，探讨其在心脏病诊断中的应用，本研究采用¹³N-氨气标记的¹³N-氨气，将¹³N-氨气注入小鼠体内，通过动态PET扫描和组织切片显微镜观察，研究了¹³N-氨气在小鼠体内的分布情况。结果表明，¹³N-氨气在心肌中的摄取量最高(25.3%)，高于其他组织。在狗身上，¹³N-氨气首先在心脏和肺部被摄取，心池放射活性在注射后30秒达到高峰，随后逐渐降低，1分钟后降至低水平，之后保持相对稳定。在注射后的20秒内，¹³N-氨气在左心室心肌中的摄取量显著增加，而侧壁的放射活性比室间隔高，1分钟后则相反，侧壁与室间隔的放射活性比为1.20±0.55。心-血、心-肝和心-肺比值均在5分钟后超过2.5。在狗身上，¹³N-氨气主要分布在血流丰富的器官中，如心、肝、脾等，而脑和肾则几乎没有摄取。因此，¹³N-氨气是一种理想的显像剂，可用于评估心肌血流灌注。

在临床广泛应用于无创地评价心肌和大脑等组织的血流灌注。遥在静息和负荷状态下利用¹³N-NH₃H₂O 心肌血流灌注显像进行冠心病的早期诊断。并结合¹⁸F-氟代脱氧葡萄糖¹⁸F-FDG 免疫 PET 心肌代谢显像可作为缺血心肌存活评价的金标准。遥本研究用自制的¹³N-NH₃H₂O 生理盐水注射液进行了前瞻性动物药理实验研究。旨在为¹³N-NH₃H₂O 的临床研究与应用提供依据。

1 资料与方法

1.1 材料

1.1.1 实验动物 28 只昆明雄性小鼠袁体质量 20~25 g曰只雄性实验犬袁体质量 17kg 混由南方医院实验动物中心提供

1.1.2 主要试剂 戴氏合金(Devarda's alloy Meark 美国)由无菌去离子水 $^{16}\text{O}-\text{H}_2\text{O}$ 溶实验室自制 袁电阻率为 18~18.2 M Ω cm 空道试剂厦门鲎试剂实验厂 空道

1.1.3 主要仪器 PET trace 回旋加速器~~先~~Advance PETScanner~~先~~美国 GE 公司~~先~~LC-10AT HPLC 分析系统~~先~~himadzu、日本~~先~~LB 508 Radioflow Detector

1.2 方法

1.2.1 $^{13}\text{N-NH}_3\text{H}_2\text{O}$ 的制备 按文献报道的方法用质子束流轰击 $^{16}\text{O-H}_2\text{O}$ 袁用戴氏合金渊 Devarda's alloy 缓和还原经 ^{16}O (p, 扬) ^{13}N 核反应产生的 $^{13}\text{N-NO}_2$ 射 $^{13}\text{N-NO}_3^-$ 袁收集产物于无菌无热源生理盐水中袁获得 $^{13}\text{N-NH}_3\text{H}_2\text{O}$ 生理盐水注射液遥以 HPLC 法进行质量控制袁以 Econosil C18 柱为层析柱袁用甲醇水溶液(9:1)作为流动相袁流速为 1ml/min 遥其放化纯度和化学纯度均 >95% 遥

1.2.2 小鼠体内 $^{13}\text{N-NH}_3\text{H}_2\text{O}$ 的分布实验 将 28 只昆明小鼠按每组 4 只分为 7 组袁分别由尾静脉注入 $^{13}\text{N-NH}_3\text{H}_2\text{O}$ 740kBq (20mCi) 袁分别在 0.5、1、2、5、10、20、30min 时断头放血处死动物遥摘取心肝肺肾脾脑睾丸等脏器测定放射性计数并分别称体质量遥同时取 1% 注射剂量作 ^{13}N 衰变校正袁最后计算不同时间每克组织中注射剂量的百分率 $\frac{\text{ID}}{\text{g}}$ 袁

1.2.3 动物显像 实验犬用 3% 戊巴比妥钠溶液麻醉后袁后肢静脉注入 $^{13}\text{N-NH}_3\text{H}_2\text{O}$ 740MBq(20mCi) 袁

进行心肌血流灌注动态显像袁从开始注射到注射后的 30 s 内袁每 10 s 钟采集一次曰此后袁分别按 30 s 袁 min 袁 5 min 的间隔时间进行采集袁各采集 3 组遥经重建处理后获得心肌血流灌注动态图象袁会制时间 - 活度曲线袁并观察血池袁肝和肺的摄取时间袁计算心 / 肝袁心 / 肺比值袁心肌血流灌注动态显像完成 4 h 后袁麻醉犬袁重新注射 740MBq(20mCi) 的 $^{13}\text{N-NH}_3\text{H}_2\text{O}$ 袁 min 袁然后进行全身 PET 扫描袁经重建获得全身断层显像袁观察各器官对 $^{13}\text{N-NH}_3\text{H}_2\text{O}$ 的摄取袁

1.3 统计处理

采用 SPSS 10.1 统计软件袁对数据进行广义线性模型的重复测量数据方差分析及两两比较袁

2 结果

2.1 小鼠体内 $^{13}\text{N-NH}_3\text{H}_2\text{O}$ 的分布

结果见表 1 遥

注射 $^{13}\text{N-NH}_3\text{H}_2\text{O}$ 后袁心肌的摄取率最高袁其平

表 1 小鼠体内 $^{13}\text{N-NH}_3\text{H}_2\text{O}$ 的分布 袁 ID/g, 曾译

表 1 小鼠体内 $^{13}\text{N-NH}_3\text{H}_2\text{O}$ 的分布 袁 ID/g, 曾译

Site	Time after injection(min)						
	0.5	1	2	5	10	20	30
Blood	9.01 ± 0.15	5.80 ± 0.20	1.82 ± 0.14	2.87 ± 0.12	1.94 ± 0.09	2.21 ± 0.10	1.38 ± 0.22
Cerebrum	5.06 ± 0.12	5.38 ± 0.21	5.83 ± 0.19	7.49 ± 0.25	2.57 ± 0.14	4.33 ± 0.16	4.90 ± 0.21
Myocardium	28.46 ± 0.42	29.24 ± 0.35	26.23 ± 0.41	15.83 ± 0.31	12.23 ± 0.26	10.15 ± 0.23	8.34 ± 0.24
Liver	4.53 ± 0.14	13.33 ± 0.22	17.44 ± 0.30	12.15 ± 0.27	10.52 ± 0.28	6.18 ± 0.19	6.85 ± 0.16
Kidney	22.09 ± 0.37	26.44 ± 0.29	20.37 ± 0.50	11.01 ± 0.25	6.05 ± 0.24	5.58 ± 0.18	6.46 ± 0.15
Lung	34.58 ± 0.26	24.02 ± 0.30	17.52 ± 0.36	10.09 ± 0.30	6.14 ± 0.26	4.15 ± 0.22	4.43 ± 0.19
Spleen	2.06 ± 0.11	4.57 ± 0.09	5.81 ± 0.21	6.10 ± 0.27	5.91 ± 0.28	4.51 ± 0.22	4.43 ± 0.19
Testes	2.29 ± 0.12	2.40 ± 0.13	2.90 ± 0.14	2.05 ± 0.08	1.43 ± 0.15	1.99 ± 0.07	1.45 ± 0.08
Mean value	0.000	0.000	0.001	0.000	0.000	0.000	0.001

均 %ID/g 为 19.0 ± 0.0 ± 0.01 袁血液清除较快袁 min 时血液中的放射性仅为 0.5min 时的 32.0% 袁脾脏血管丰富袁脾脏中的放射性保持在相对稳定地较低水平袁其平均 %ID/g 为 4.77 ± 0.30 袁肾脏的放射性较高袁是 $^{13}\text{N-NH}_3\text{H}_2\text{O}$ 的主要清除器官袁其平均 %ID/g 为 14.0 ± 0.70 遥

2.2 动物显像

犬胸部动态 PET 显像发现袁在注射后 10 s 袁 $^{13}\text{N-NH}_3\text{H}_2\text{O}$ 已通过右心室和左心室血池袁在 30 s 时袁右心室和左心室血池感兴趣区袁 region of interest 袁 ROI 袁的放射性达到峰值袁 min 后开始下降袁 min 后保持在相对低的水平遥左心室间壁和侧壁心肌在 20 s 开始摄取 $^{13}\text{N-NH}_3\text{H}_2\text{O}$ 袁间壁摄取 60.8 ± 0.55 高于侧壁 15.7 ± 0.37 袁 56.4 ± 0.01 袁在 1 min 内心肌放射性下降明显袁 ~5 min 出现再摄取现象袁在以后的时间里下降缓慢并保持稳定通 min 后侧壁摄取 50.7 ± 0.53 高于间壁 42.4 ± 0.48 袁 23.1 ± 0.01 袁侧壁活度 / 间壁活度为 1.20 ± 0.55 遥在 30 s 袁 144.9 ± 0.84 和肺 128.5 ±

1.68 摄取达到最高袁后急剧下降袁 min 时肝和肺的摄取分别为 33.9 ± 0.65 和 28.7 ± 0.83 袁与 30 s 相比摄取显著降低袁 89.5 ± 106.2 袁均为 孕 0.01 袁 min 后肝和肺的摄取逐渐下降并维持在较低的水平袁 1 袁计算机重建左心室壁心肌短轴袁水平长轴和垂直长轴血流灌注断层图像袁心肌各节段显像清晰袁心壁因放射性衰减而略低于侧壁袁心尖部心肌较薄而呈现放射性稀疏区袁 2 袁封底) 遥

测定各个显像时间心肌袁血池袁肝和肺 ROI 的放射性袁计算心 / 血袁 / 肝和心 / 肺比值袁其结果见表 2 遥

犬注射 $^{13}\text{N-NH}_3\text{H}_2\text{O}$ 后全身显像发现袁 $^{13}\text{N-NH}_3\text{H}_2\text{O}$ 主要分布在血供丰富的组织袁肾脏是主要的排泄器官袁

3 讨论

已有许多文献报道了利用 Devarda's 合金还原从(p, 扬) ^{13}N 核反应产生的 $^{13}\text{N-NO}_2$ 射 $^{13}\text{N-NO}_3^-$ 袁获得高纯度的 $^{13}\text{N-NH}_3\text{H}_2\text{O}$ 袁已成功地用于临床 PET 研究袁

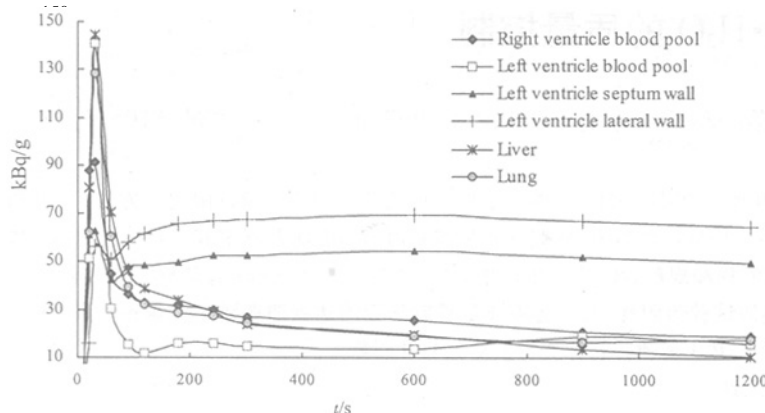


图 1 犬体内各器官对¹³N-氨水摄取的时间 - 活度曲线

表 2 $^{13}\text{N-NH}_3\text{H}_2\text{O}$ 在犬内心 / 血浆 / 肝和心 / 肺比值

• 4

Ratio	Time after injection(min)									
	0.5	1	5	10	20					
Heart-to-blood	0.51 [†]	0.09	1.24 [†]	2.87 [†]	0.09	3.15 [†]	0.10	3.22 [†]	0.12	
Heart-to-liver	0.41 [†]	0.10	0.66 [†]	1.13	2.53 [†]	0.15	3.15 [†]	0.10	5.28 [†]	0.13
Heart-to-lung	0.46 [†]	0.11	0.77 [†]	0.08	2.43 [†]	0.13	3.24 [†]	0.12	3.26 [†]	0.09

对合成的 $^{13}\text{N}-\text{NH}_3\text{H}_2\text{O}$ 生理盐水溶液进行载体氨浓度和铝离子含量测定载体氨含量均低于 1 mmol/L 袁铝离子含量 <1 伊 0^{-4} mol/L 袁符合 1994 年版美国药典 *United States Pharmacopeia, USP* 遥

1972 年 Monahan 等对动物体内 $^{13}\text{N}-\text{NH}_3\text{H}_2\text{O}$ 的分布进行了较为系统的研究¹⁴。近年来未见这方面的研究报道。本研究动物体内分布结果表明，心、肌、肺和肝是首先被定位的器官。¹⁴与文献报告相符合。首次通过心、肌和肺的摄取率最高，约有 92% 的放射性被血液清除。¹⁴肝脏是 $^{13}\text{N}-\text{NH}_3\text{H}_2\text{O}$ 主要的清除器官。¹⁴

实验犬¹³N-NH₃H₂OPET 显像发现袁心肌摄取快而廓清相对较慢袁肝和肺的本底清除快袁心脏影像清晰遥¹³N-NH₃H₂O 主要分布于脑袁肝袁肺袁肾等血供丰富的器官袁其它组织均相对较低遥心肌动态显像发现袁左心室心肌各节段显像清晰遥在 10 s 时首次通过心脏袁利用兔所研究的结果一致¹³N-NH₃H₂O 的摄取差异可能与局部心肌对¹³N-NH₃ 的代谢捕获机制不同遥因此袁在进行¹³N-NH₃H₂O 心肌 PET 显像时袁必须考虑侧壁和间壁心肌之间对¹³N-NH₃ 的摄取差异遥

静脉弹丸注射 $^{13}\text{N-NH}_3\text{H}_2\text{O}$ 后袁首次通过时心肌大量摄取袁在 1min 内放射性下降明显袁在 2~5min 又有明显的再摄取现象遥心肌中 $^{13}\text{N-NH}_3$ 的摄取机制不是十分清楚袁本研究认为袁首次通过时心肌的摄取可能与代谢无关袁 min 后的再摄取一方面可能是在

血液中以 NH_4^+ 存在的 $^{13}\text{N}-\text{NH}_3$ 以离子交换或细胞膜的被动扩散方式进入心肌细胞。另一方面可能是在氨基甲酰基磷酸酶的作用下经谷氨酸和 / 或腺嘌呤核苷酸代谢途径进入心肌细胞。

研究表明袁N-NH₃H₂O 心肌 PET 显像能精确地测量局部心肌血流并且结合药物负荷可以定量测量局部心肌血流储备¹³N-¹³NH₃H₂O PET 血流灌注动态显像时袁建议进行 15~20min 的动态显像袁显像完成后袁对 1min 以后的重建图像进行叠加处理袁断层后可得到清晰的图像 深图图 1A 袁也可在静脉注射 ¹³N-NH₃H₂O 后 4~5min 进行静态 PET 显像袁同样获得与动态心肌灌注显像一致的心肌血流灌注图像深

总之， $^{13}\text{N-NH}_3\text{H}_2\text{O}$ 心肌摄取快而廓清相对较慢， $^{13}\text{N-NH}_3\text{H}_2\text{O}$ 血浆和肺的本底清除快，具有较高的心 / 肝和心 / 肺比值。 $^{13}\text{N-NH}_3\text{H}_2\text{O}$ 心脏影像清晰，是无创评估心肌 rMBF 的理想的血流灌注显像剂。 $^{13}\text{N-NH}_3\text{H}_2\text{O}$ 在冠心病诊断和心肌活性评估以及在其它方面的临床应用有待积累和资料，为进一步研究提供依据。

参考文献院

· 哈默diCarli MF, Asgarzadie F, Schelbert HR, **灌注与心肌关系** Relation of myocardial perfusion at rest and during pharmacologic stress to the PET patterns of tissue viability in patients with severe left ventricular dysfunction. **哈默J Nucl Cardiol.** 1998;5(6):558-6.

咱暂王明芳, 孙启银, 赵军, 等. $^{13}\text{N-NH}_3\text{H}_2\text{O}$ 的制备与质量控制咱暂
同位素 1998 11(1):8-12

Monahan WG, Tilbury RS, Laughlin JS. Uptake of ^{15}N -labeled ammonium by

Shimada K, Yoshida K, Tadokoro H. *High resolution cardiac*

PETinrabbits: imagingandquantitationofmyocardialbloodflow
呻吟JNIM 11998;20(12):2022-7

咱嘅 Beanlands RS, Muzik O, Hutchins GD, 激發 Heterogeneity of regional

nitrogen-15-labeled ammonium tracer distribution in normal human heart: comparison with rubidium-82 and copper-62-labeled PTSM. *J Nucl Cardiol*, 1994, 1(3):225-35.